

УДК 539.3

Плоская нестационарная задача о взаимодействии твердого ударника с несовершенствами и упругого полупространства

А.Л. Медведский, Д.В. Тарлаковский

Аннотация

В работе рассмотрен произвольный этап взаимодействия абсолютно твердого ударника и упругого изотропного однородного полупространства в рамках плоской задачи теории упругости. Нестационарная контактная задача сведена к системе функциональных уравнений (СФУ), содержащей кратное сингулярное интегральное уравнение типа Вольтерра I рода, ядром которого являются поверхностные функции влияния для упругой полуплоскости. Для решения СФУ используется метод сеток для пространственно-временной области контакта [1, 2], модифицированный для многосвязных областей контакта и сплайн-параметризации направляющей ударника. Приведены примеры решения контактных задач для эллиптического ударника с начальными несовершенствами.

Ключевые слова

нестационарные контактные задачи; упругая полуплоскость; абсолютно твердое тело; многосвязная область контакта; пространственно-временная область контакта; эллиптический ударник; В-сплайн; контактные напряжения.

Введение

В настоящее время малоисследованными остаются вопросы нестационарного взаимодействия твердых тел с упругими преградами. Указанные задачи затрагивают широкий спектр вопросов, связанных с посадкой спускаемых космических аппаратов на грунт и водную поверхность.

Для решения соответствующих начально-краевых задач в основном используется классический метод конечного элемента. В качестве альтернативы может быть предложен один из вариантов метода гранично-временных интегральных уравнений, который при соответствующей модификации позволяет строить решения соответствующей контактной

задачи в пространственно-временной области. В качестве ядер интегральных операторов в данном случае используются поверхностные функции влияния для упругой преграды. Указанный подход позволяет снизить размерность решаемой задачи за счет использования интегральных соотношений в области контакта.

1. Постановка задачи.

Рассматривается плоская задача нестационарного взаимодействия гладкого абсолютно твердого ударника и упругой однородной изотропной полуплоскости. В начальный момент времени $t=0$ ударник касается границы упругой полуплоскости Π_{10} в точке O прямоугольной декартовой системе координат Ox_1x_2 с базисом e_i . Граница упругой полуплоскости совпадает с плоскостью $x_1=0$, ось Ox_1 направлена в глубь полупространства, а ось Ox_2 вдоль свободной поверхности (рис. 1).

Предполагается, что твердое цилиндрическое тело ограничено гладкой поверхностью, причем направляющая цилиндра Γ характеризуется немонотонной кривизной, что в первом приближении моделирует несовершенство ударника и приводит к многосвязной области контакта. Для параметризации направляющей цилиндра кривой Γ (рис. 1) используется следующее представление:

$$\Gamma : y_1 = \chi_1(\xi), \quad y_2 = \chi_2(\xi), \quad \xi \in D_\xi \subseteq \square, \quad (1.1)$$

где e_i - ортонормированный базис связанной с центром масс системы главных центральных осей $O_1y_1y_2$ твердого тела.

Задача решается в линейной постановке, вследствие чего граничные условия ставятся на невозмущенной поверхности полупространства Π_{10} . В первом приближении не учитывается влияние деформации свободной поверхности полупространства на процесс внедрения поэтому граница области контакта $\partial\Omega(\tau)$ определяется из геометрического пересечения двух недеформированных поверхностей: неподвижной Π_{10} и подвижной поверхности твердого ударника Π_{2T} [1]. И представляет собой объединение отрезков оси Ox_2 (см. рис. 1.1). В общем случае область контакта $\Omega(\tau)$ может быть многосвязной.

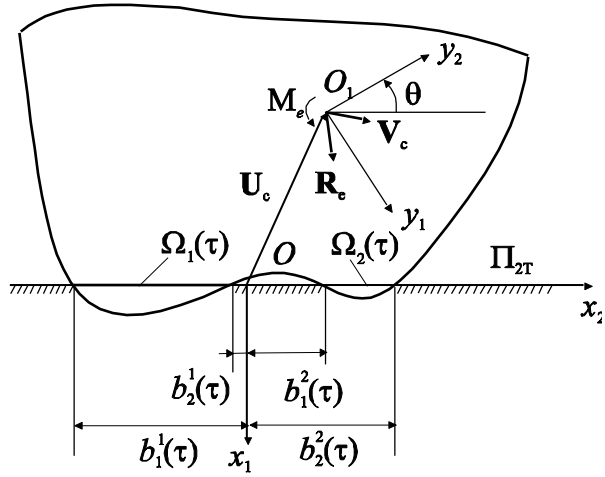


Рис. 1. Геометрия задачи

Задача решается в безразмерном виде, поэтому вводим следующие безразмерные параметры (далее тильда везде опущена):

$$\begin{aligned}
 \tilde{x}_i &= \frac{x_i}{L}, \quad \gamma = \frac{c_1}{c_2}, \quad \tau = \frac{c_1 t}{L}, \quad \tilde{\varphi} = \frac{\varphi}{L^2}, \quad \tilde{\psi} = \frac{\psi}{L^2}, \\
 \tilde{u}_i &= \frac{u_i}{L}, \quad \kappa = \frac{\lambda}{\lambda + 2\mu}, \quad \tilde{\sigma}_{ij} = \frac{\sigma_{ij}}{\lambda + 2\mu}, \quad (i, j) \in \{1, 2\}, \\
 \tilde{m} &= \frac{m}{\rho L^2}, \quad \tilde{J} = \frac{J_3}{\rho L^4}, \quad \tilde{\mathbf{U}}_c = \frac{\mathbf{U}_c}{L}, \quad \tilde{\mathbf{V}}_c = \frac{\mathbf{V}_c}{c_1}, \quad \tilde{\omega} = \frac{\omega L}{c_1}, \\
 \tilde{\mathbf{R}} &= \frac{\mathbf{R}}{(\lambda + 2\mu)L}, \quad \tilde{\mathbf{R}}_e = \frac{\mathbf{R}_e}{(\lambda + 2\mu)L}, \quad \tilde{\mathbf{M}} = \frac{\mathbf{M}}{(\lambda + 2\mu)L^2}, \\
 \tilde{\mathbf{M}}_e &= \frac{\mathbf{M}_e}{(\lambda + 2\mu)L^2}, \quad \tilde{y}_i = \frac{y_i}{L}, \quad (i = 1, 3),
 \end{aligned} \tag{1.2}$$

где λ , μ и ρ - упругие постоянные Ламе и плотность упругой среды; L - характерный размер ударника; u_i - компоненты вектора перемещений точек полупространства; σ_{ij} - компоненты тензора напряжений; φ , c_1 и ψ , c_2 - потенциалы и скорости волн расширения-сжатия и формоизменения упругой среды; m , J_3 - погонные масса и главный момент инерции ударника относительно оси Ox_3 ; \mathbf{U}_c и θ - вектор перемещения центра масс и угол поворота ударника вокруг центра масс; \mathbf{R}_e , \mathbf{M}_e , и \mathbf{R} , \mathbf{M} - соответственно погонные внешние и контактные силы и моменты, действующие на тело.

Движение ударника описывается в безразмерном виде системой уравнений плоскопараллельного движения абсолютно твердого тела с соответствующими начальными условиями [1].

Уравнения движения упругой среды представляются волновыми уравнениями относительно потенциалов волн расширения-сжатия и формоизменения с известными зависимостями между потенциалами и компонентами вектора перемещений точек полуплоскости u_i и ненулевыми компонентами тензора напряжений α_{ij} [2]. В начальный момент времени $\tau = 0$ возмущения в упругой среде отсутствуют, а на бесконечности среда находится в невозмущенном состоянии.

$$\begin{aligned} \Omega(\tau) &= \bigcup_{i=1}^n \Omega_i(\tau), \quad \Omega_i(\tau) = [b_1^i(\tau), b_2^i(\tau)] \in Ox_2, \\ \partial\Omega_i(\tau) &= \{b_i^j(\tau) \in Ox_2 \mid g(0, b_i^j(\tau), \tau) = 0, j = 1, 2\}. \end{aligned} \quad (1.3)$$

Здесь подвижная поверхность Π_{2T} в системе координат Ox_1x_2 задается неявным образом:

$$\Pi_T : g(x_1, x_2, \tau) = 0 \Leftrightarrow x_i = c_{ij}\chi_j(\xi) + U_{ci}(\tau), \quad i = 1, 2. \quad (1.4)$$

В области контакта могут реализовываться граничные условия двух типов:

Задача 1 (свободное проскальзывание контактирующих тел):

$$\begin{aligned} u_1(x_1, x_2, \tau) \Big|_{x_1=0} &= u_{10}(x_2, \tau), \quad (x_2 \in \Omega(\tau)), \\ \sigma_{11}(x_1, x_2, \tau) \Big|_{x_1=0} &= 0, \quad (x_2 \notin \Omega(\tau)) \\ \sigma_{12}(x_1, x_2, \tau) \Big|_{x_1=0} &= 0, \quad (x_2 \in \square). \end{aligned} \quad (1.5)$$

Задача 2 (жесткое сцепление контактирующих тел):

$$\begin{aligned} u_j(x_1, x_2, \tau) \Big|_{x_1=0} &= u_{j0}(x_2, \tau), \quad (x_2 \in \Omega(\tau)), \\ \sigma_{1j}(x_1, x_2, \tau) \Big|_{x_1=0} &= 0, \quad (x_2 \notin \Omega(\tau)), \quad (j = 1, 2), \end{aligned} \quad (1.6)$$

где u_{j0} - компоненты вектора перемещений \mathbf{u}_0 в базисе \mathbf{e}_j точек поверхности полупространства, находящихся под ударником:

Связь $u_{j0}(x_2, \tau)$ с кинематическими параметрами ударника \mathbf{U}_c и θ определяется матрицей перехода между системами координат $Ox_1x_2x_3$ и $O_1y_1y_2y_3$ [1,3]:

Результирующие реакции полупространства \mathbf{R} и M связаны с контактными напряжениями $\sigma_{j0}(x_2, \tau)$ интегральными соотношениями по области контакта $\Omega(\tau)$:

$$R_j(\tau) = \sum_{i=1}^n R_j^i(\tau), \quad M_0(\tau) = \sum_{i=1}^n M_0^i(\tau),$$

$$R_j^i(\tau) = \int_{b_1^i(\tau)}^{b_2^i(\tau)} \sigma_{j0}(\xi, \tau) d\xi, \quad M(\tau) = (\mathbf{U}_c, \mathbf{R}, \mathbf{e}_3) + M_0(\tau), \quad (j=1,2), \quad (1.7)$$

$$M_0^i(\tau) = - \int_{b_1^i(\tau)}^{b_2^i(\tau)} \xi \sigma_{10}(\xi, \tau) d\xi, \quad \sigma_{j0}(x_2, \tau) = \sigma_{1j}(x_1, x_2, \tau) \Big|_{x_1=0}.$$

Нестационарная контактная задача сводится к следующей системе функциональных уравнений (СФУ) [1, 3], которую представим в операторном виде:

$$V_{cj}^{(m)} = m^{-1} \left(\mathbf{K}^{(0)} \left(R_{ej}^{(m)} \right) + z_{mj} \mathbf{L}_r^{(00)} \left(\sigma_{j0}^{(m)} \right) \right) + V_{cj0}^{(m)},$$

$$\omega^{(m)} = J^{-1} \left(\mathbf{K}^{(0)} \left(M_{ej}^{(m)} \right) + \mathbf{K}^{(0)} \left[\left(\mathbf{U}_c^{(m)}, \mathbf{R}^{(m)}, \mathbf{e}_3 \right) \right] - \mathbf{L}_r^{(01)} \left(\sigma_{10}^{(m)} \right) \right) + \omega_0^{(m)}, \quad (1.8)$$

$$U_{cj}^{(m)} = m^{-1} \left(\mathbf{K}^{(1)} \left(R_{ej}^{(m)} \right) + z_{mj} \mathbf{L}_r^{(10)} \left(\sigma_{j0}^{(m)} \right) \right) + V_{cj0}^{(m)} \tau + U_{cj0}^{(m)},$$

$$\theta^{(m)} = J^{-1} \left(\mathbf{K}^{(1)} \left(M_{ej}^{(m)} \right) + \mathbf{K}^{(1)} \left[\left(\mathbf{U}_c^{(m)}, \mathbf{R}^{(m)}, \mathbf{e}_3 \right) \right] - \mathbf{L}_r^{(11)} \left(\sigma_{10}^{(m)} \right) \right) + \omega_0^{(m)} \tau + \theta_0^{(m)},$$

$$u_{k0}^{(m)} = \mathbf{L}_s^{(kl)} \left(\sigma_{10}^{(m)} \right), \quad (1.9)$$

$$u_{10}^{(m)}(\tau, x_2) = U_{c1}^{(m)}(\tau) + \chi_1(\xi) \cos \theta^{(m)}(\tau) - \chi_2(\xi) \sin \theta^{(m)}(\tau),$$

$$u_{20}^{(2)}(\tau, x_2) = U_{c2}^{(m)}(\tau) + \chi_1(\xi) \sin \theta^{(m)}(\tau) + \chi_2(\xi) \cos \theta^{(m)}(\tau) - x_2,$$

$$\left(0, b_j^{(m)}(\tau) \right)^T = \mathbf{C} \left(\theta^{(m)}(\tau) \right) \left(\chi_1(\xi_j), \chi_2(\xi_j) \right)^T + \left(U_{c1}^{(m)}, U_{c2}^{(m)} \right)^T, \quad (1.10)$$

$$\left(U_{c10}, U_{c20} \right)^T = -\mathbf{C} \left(\theta_0^{(m)} \right) \left(\chi_1(\xi_0), \chi_2(\xi_0) \right)^T, \quad (j=1,2; m=1,2; l, k = \overline{1, m}),$$

где m - номер задачи.

В соотношениях (1.8) - (1.10) введены следующие интегральные операторы:

$$\mathbf{L}_s^{(mj)}, \mathbf{L}_r^{(mk)} : \square(D) \rightarrow \square(\square_+), \quad \mathbf{K}^{(j)} : \square(\square_+) \rightarrow \square(\square_+),$$

$$\mathbf{L}_s^{(mj)}(\varphi) = \iint_D F_{mj}(x-\xi, \tau-t) \varphi(\xi, t) d\mu,$$

$$\mathbf{K}^{(j)}(f) = \int_0^\tau (\tau-t)^j f(t) dt, \quad (m, j) = 1, 2; \quad k = 0, 1; \quad (1.11)$$

$$\mathbf{L}_r^{(mk)}(\psi) = \iint_D (\tau-t)^m \xi^k \psi(\xi, t) d\mu, \quad \varphi, \psi \in \square(D), \quad f \in \square([0, \tau]),$$

Здесь $F_{jk}(x_2, \tau)$ - поверхностные функции влияния второго рода для упругого полупространства [1, 3]:

$$\pi G_{11}^{(2)}(x, \tau) R_1(x, \tau) = \begin{cases} \gamma^4 x^2 (\gamma^2 x^2 - 2\tau^2)^2 \sqrt{\tau^2 - x^2}, 1 \leq \frac{\tau}{|x|} < \gamma; \\ \gamma^4 x^2 \sqrt{\tau^2 - x^2} \left[(\gamma^2 x^2 - 2\tau^2)^2 + 4\tau^2 \sqrt{\tau^2 - x^2} \sqrt{\tau^2 - \gamma^2 x^2} \right], \frac{\tau}{|x|} \geq \gamma; \\ 0, \frac{\tau}{|x|} < 1; \end{cases} \quad (1.12)$$

$$\pi G_{22}^{(2)}(x, \tau) R_1(x, \tau) = \begin{cases} -4\gamma^4 x^2 \tau^2 (\gamma^2 x^2 - \tau^2) \sqrt{\tau^2 - x^2}, 1 \leq \frac{\tau}{|x|} < \gamma; \\ \gamma^4 x^2 \sqrt{\tau^2 - \gamma^2 x^2} \left[(\gamma^2 x^2 - 2\tau^2)^2 + 4\tau^2 \sqrt{\tau^2 - x^2} \sqrt{\tau^2 - \gamma^2 x^2} \right], \frac{\tau}{|x|} \geq \gamma; \\ 0, \frac{\tau}{|x|} < 1 \end{cases} \quad (1.13)$$

$$\pi G_{12}^{(2)}(x, \tau) = \begin{cases} 2\gamma^4 x^2 \tau (\gamma^2 x^2 - 2\tau^2) \sqrt{\gamma^2 x^2 - \tau^2} \sqrt{\tau^2 - x^2} \operatorname{sign} x / R_1(x, \tau), 1 \leq \frac{\tau}{|x|} < \gamma; \\ \frac{\pi \gamma^4 C_R^2 (\gamma^2 C_R^2 - 2)}{2(R_1(C_R, 1))_x} \delta(C_R \tau - |x|) \operatorname{sign} x, \frac{\tau}{|x|} \geq \gamma; \\ 0, \frac{\tau}{|x|} < 1; \end{cases} \quad (1.14)$$

$$R_1(x, \tau) = (\gamma^2 x^2 - 2\tau^2)^4 - 16\tau^4 (\tau^2 - \gamma^2 x^2) (\tau^2 - x^2). \quad (1.15)$$

$$F_{jk}(x_2, \tau) = G_{jk}^{(2)}(x_2, \tau) \quad (1.16)$$

Анализ ядер интегральных операторов $\mathbf{L}_s^{(kl)}$ показывает [1, 3], они имеют интегрируемую особенность в точке $x = \tau = 0$ и сингулярности первого порядка, сосредоточенные на фронтах волн Релея $|x| = c_R \tau$ (c_R - скорость волны Релея).

2. Численный алгоритм решения СФУ.

Численная процедура решения СФУ (1.8) - (1.10) строится на базе конечно-разностной аппроксимации пространственно-временной области контакта (рис. 2).

$$D = \bigcup_{m=1}^M D_m, \quad D_m = \{(t, \xi) \in \square^2 \mid t \geq 0, b_1^m(t) \leq \xi \leq b_2^m(t)\}, \quad (2.1)$$

где M - количество пространственно-временных подобластей.

Для аппроксимации области D на полуплоскость $\square_{t\xi}^2, (t \geq 0)$ наносится ортогональная сетка с равномерным шагом h :

$$\omega_{t\xi} = \{(t_i, \xi_j) | t_i = ih, \xi_j = j; j \in \square, i \in \square\},$$

$$\square^2 = \bigcup_i \bigcup_j K_{ij}, \quad K_{ij} = \{(t, \xi) \in \square^2 | t_{i-1} \leq t \leq t_i, \xi_j \leq \xi \leq \xi_{j+1}\}. \quad (2.2)$$

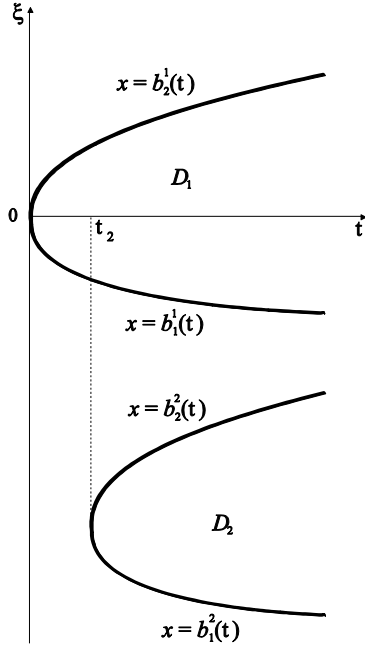


Рис. 2. Пространственно-временная область контакта D

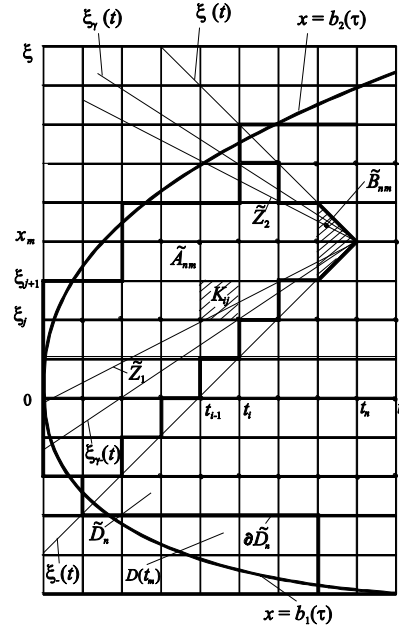


Рис. 3. Пространственно-временная область контакта D_m

Каждая из подобластей $D_m(\tau)$ в момент времени $\tau = t_n$ заменяется многоугольником \tilde{D}_n^m , который описывается следующим образом (рис. 3)

$$\tilde{D}_n^m = \bigcup_{i=1}^n P_{im}^n, \quad P_{im}^n = \bigcup_{j=l_{ii}^m}^{l_{ii}^m-1} K_{ij}, \quad l_{ki}^m = \beta_k^m(t_i),$$

$$\beta_k^m(t) = \tilde{\beta}_k^m(t) + (-1)^{k+1} \text{mod}_2(|\tilde{\beta}_k^m(t)| + 1), \quad \tilde{\beta}_k^m(t) = \text{sign} b_k^m(t) \left\lceil \frac{|\beta_k^m(t)|}{h} \right\rceil, \quad (2.3)$$

где значком $[\cdot]$ обозначена целая часть действительного числа.

Носителями функций влияния $F_{\alpha\alpha}(x, t)$ и $F_{\alpha\beta}(x, t)$, ($\alpha \neq \beta$) являются следующие множества:

$$\text{supp} F_{\alpha\alpha}(mh - \xi, nh - t) = \{(t, \xi) | 0 \leq t \leq nh, |mh - \xi| \leq nh - t\}. \quad (2.4)$$

$$\text{supp} F_{\alpha\beta}(x, \tau) = \bigcup_{j=1}^2 (C_j \cup L_j), \quad (2.5)$$

$$L_j = \{(t, \xi) \in \square^2 | t \in [0, \tau], \xi = (-1)^j C_R t\}, \quad C_j = \{(t, \xi) \in \square^2 | t \in [0, \tau], t/j < (-1)^j \xi < t\}.$$

Поэтому интегрирование в операторах $\mathbf{L}_s^{(\alpha\alpha)}$ с учетом (2.3) и (2.4) проводится по области \tilde{A}_{nm} (рис. 3, номер подобласти D_m для упрощения записи опущен):

$$\tilde{A}_{nm} = \left(\bigcup_{i=1}^{n-1} \bigcup_{j=K_{1i}}^{k_{2i}-1} K_{ij} \right) \cup \tilde{B}_{nm}, \quad k_{1i} = \max \{l_{1i}, m-n+i\}, \quad k_{2i} = \min \{l_{2i}, m+n-i\}, \quad (2.6)$$

$$\tilde{B}_{nm} = K_n \cap \text{supp} F_{\alpha\alpha}(mh-\xi, nh-t).$$

Для операторов $\mathbf{L}_s^{(\alpha,\beta)}$ ($\alpha, \beta = 1, 2$) в точке (t_n, ξ_m) с учетом (2.5) используется следующая аппроксимация области интегрирования:

$$\text{supp} F_{\alpha\beta}(mh-\xi, nh-t) \approx \tilde{E}_{nm} = \left[\bigcup_{j=1}^2 (\tilde{C}_{nm,j} \cup \tilde{L}_{nm,j}) \right] \cup \hat{H}_{nm},$$

$$\tilde{L}_{nm,j} = \left\{ (t, \xi) \in \square^2 \mid t \in [0, (h-1)h], \xi = mh + (-1)^j c_R(nh-t) \right\}, \quad (2.7)$$

$$\tilde{C}_{nm,j} = \bigcup_{i=1}^{n-1} \bigcup_{k=\lambda(n,m,i,j)}^{\eta(n,m,i,j)} K_{ik}, \quad \tilde{H}_{nm} = \hat{B}_{nm},$$

$$\lambda(n, m, i, 1) = m - n + i, \quad \lambda(n, m, i, 2) = m + n - i,$$

$$\eta(n, m, i, 1) = \lceil m - j^{-1}(n-i+1) \rceil,$$

$$\eta(n, m, i, 2) = \begin{cases} m + j^{-1}(n-i+1), m + j^{-1}(n-i+1) \in Z \\ m + j^{-1}(n-i+1), m + j^{-1}(n-i+1) \notin Z \end{cases}$$

Функциям одного и нескольких переменных $U_{ca}(t)$, $V_{ca}(t)$, $\theta(t)$, $\omega(t)$, $\sigma_{\alpha 0}(\xi, t)$ ($\alpha = 1, 2$) ставятся в соответствие сеточные функции u_α^i , v_α^i , θ^i , ω^i , σ_α^{ij} :

$$u_\alpha^i = U_{ca}(t_i), \quad v_\alpha^i = V_{ca}(t_i), \quad \theta^i = \theta(t_i), \quad \omega^i = \omega(t_i),$$

$$\sigma_\alpha^{ij} = \sigma_{\alpha 0}(\xi_{z(j)}, t_i), \quad z(j) = j + \text{mod}_2(|j|). \quad (2.8)$$

В формулах (2.8) для упрощения записи номер задачи опущен.

Интегральным операторам задачи (1.11) ставятся в соответствие разностные операторы, для которых в качестве областей интегрирования используются введенные выше аппроксимационные множества \tilde{D}_n , \tilde{A}_{nm} и \tilde{E}_{nm} .

1) *Оператор $\mathbf{K}^{(j)}$* . В качестве разностного аналога используется квадратура $\Lambda_K^{(j)}$, соответствующая формуле прямоугольников на отрезке $[0, t_n]$ [4]

$$\Lambda_K^{(j)} : H_N \rightarrow H_N,$$

$$\Lambda_K^{(0)}(y) = h \sum_{i=1}^n y_i, \quad \Lambda_K^{(1)}(y) = h^2 \sum_{i=1}^n (n-i) y_i \quad (2.9)$$

$$y_i = y(t_i), \quad y \in H_N, \quad \omega_n = \left\{ t_i \in [0, \tau] \mid t_i = (i-1)h, i \in \overline{1, N} \right\},$$

где H_N - пространство функций, заданных на сетке ω_n .

2) *Регулярный оператор $\mathbf{L}_2^{(mj)}$* . Поставим ему в соответствие разностный оператор формулы прямоугольников $\Lambda_{L_r}^{(mj)}$, определенный на пространстве сеточных функций H_{NM_i}

$$\Lambda_{L_r}^{(0j)}(f) = h^{2+j} \sum_{i=1}^n \sum_{k=l_{1i}}^{l_{2i}-1} z^j(k) f_{ik}, \quad \Lambda_{L_r}^{(1j)}(f) = h^{3+j} \sum_{i=1}^{n-1} \sum_{k=l_{1i}}^{l_{2i}-1} (n-i) z(k) f_{ik},$$

$$\omega_{hh} = \left\{ (t_i, \xi_j) \in \square^2 \mid j = l_{1i}, l_{2i} - 1, i = \overline{1, N}, N \in \square \right\},$$
(2.10)

где l_{ki} и $z(k)$ определены в (2.3) и (2.8).

3) *Сингулярные операторы $\mathbf{L}_s^{(\alpha\alpha)}$* . Сингулярному оператору $\mathbf{L}_s^{(\alpha\alpha)}$ ($\alpha = 1, 2$) ставится в соответствие разностный аналог $\Lambda_{L_s}^{(\alpha\alpha)}$, определенный на пространстве сеточных функций H_{NM_i} :

$$\Lambda_{L_s}^{(\alpha\alpha)}(\sigma_\alpha) = h \left(\sum_{i=1}^{n-1} \sum_{j=k_{1i}}^{k_{2i}-1} d_{m-j, n-i}^{(\alpha\alpha)} \sigma_\alpha^{ij} - \gamma_\alpha \sigma_\alpha^{nm} \right), \quad \sigma_\alpha \in H_{NM_i}. \quad (2.11)$$

Здесь коэффициенты кубатур определяются так:

$$d_{m-j, n-i}^{(\alpha\alpha)} = r_{m-j, n-i}^{(\alpha\alpha)} + s_{m-j, n-i}^{(\alpha\alpha)},$$

$$r_{m-j, n-i}^{(\alpha\alpha)} = \iint_{k_{ij}} F_{\alpha\alpha, r}(mh - \xi, nh - t) d\mu, \quad s_{m-j, n-i}^{(\alpha\alpha)} = \iint_{k_{ij}} \frac{d\mu}{(mh - \xi)^2 - c_R^2 (nh - t)^2}. \quad (2.12)$$

Коэффициенты квадратур $s_{m-j, n-i}^{(\alpha\alpha)}$ сингулярной части вычисляются аналитически и имеют вид [5]:

$$s_{km}^{(\alpha\alpha)} = \frac{h}{2c_R^2} \sum_{i, j, l=0}^1 (-1)^{j+l} v_{km}^{ijl} \ln |v_{km}^{ijl}|, \quad v_{km}^{ijl} = k - j + (-1)^{i+1} c_R (m+l). \quad (2.13)$$

В формуле (2.13) в силу свойств функции $f(x) = x \ln|x|$ при $v_{km}^{ijl} = 0$ соответствующее слагаемое становится в пределе равно нулю. Коэффициенты кубатур $r_{km}^{(\alpha\alpha)}$ находятся численно с заданной точностью с помощью четырех точечных кубатур Гаусса [4].

4) *Сингулярные операторы $\mathbf{L}_s^{(\alpha\beta)}$, ($\alpha \neq \beta$)*. Разностный оператор $\Lambda_{L_s}^{(\alpha\beta)}$, аппроксимирующий $\mathbf{L}_s^{(\alpha\beta)}$, имеет вид [1,3]:

$$\Lambda_{L_s}^{(\alpha\beta)}(\sigma_\beta) = h \sum_{i=1}^{n-1} \sum_{j=k_{1i}}^{k_{2i}-1} d_{m-j, n-i}^{(\alpha\beta)} \sigma_\beta^{ij}, \quad \sigma_\beta \in H_{NM_i}. \quad (2.14)$$

Здесь коэффициенты квадратур $d_{m-j, n-i}^{(\alpha\beta)}$ определяются так:

$$d_{m-j,n-i}^{(\alpha\beta)} = \begin{cases} r_{m-j,n-i}^{(\alpha\beta)}, & j \in \bigcup_{k=1}^2 [\lambda(n, m, i, k), \eta(n, m, i, k)]; \\ -p_{m-j,n-i}^{(\alpha\beta)} \text{sign}(m-j), & j \in \bigcup_{k=1}^2 [\varphi(n, m, i, k), \psi(n, m, i, k)]; \end{cases} \quad (2.15)$$

а в остальных случаях $d_{m-j,n-i}^{(\alpha\beta)} = 0$.

Коэффициенты квадратур $r_{m-j,n-i}^{(\alpha\beta)}$ вычисляются численно с помощью четырех точечных квадратурных формул Гаусса:

$$r_{m-j,n-i}^{(\alpha\beta)} = h^{-1} \iint_{K_{ij}} F_{\alpha\beta,1}(mh - \xi, nh - t) d\xi dt, \quad (2.16)$$

а коэффициенты $p_{m-j,n-i}^{(\alpha\beta)}$ имеют вид [3]:

$$p_{m-j,n-i}^{(\alpha\beta)} = \sqrt{1 + c_R^2} F_{\alpha\beta,2}(c_R, 1) C_{m-j,n-i}. \quad (2.17)$$

В соотношениях (2.16) и (2.17) используются следующие представления поверхностных функций влияния:

$$\begin{aligned} F_{\alpha\beta}(x, \tau) &= F_{\alpha\beta,1}(x, \tau) (H(\tau - |x|) - H(\tau - \gamma|x|)) + \\ &+ F_{\alpha\beta,2}(c_R, 1) \delta(c_R \tau - |x|) \text{sign} x, \\ \pi F_{12,1}(x, \tau) &= -\pi F_{21,1}(x, \tau) = \\ &= 2\gamma^4 x^2 \tau (\gamma^2 x^2 - 2\tau^2) \sqrt{\gamma^2 x^2 - \tau^2} \sqrt{\tau^2 - x^2} \text{sign} x / R_1(x, \tau), \\ F_{12,2}(x, \tau) &= -F_{21,2}(x, \tau) = \frac{\gamma^4 c_R^2 (\gamma^2 c_R^2 - 2)}{2R'_{1,x}(x, \tau)}, \quad (\alpha, \beta = 1, 2; \alpha \neq \beta). \end{aligned} \quad (2.18)$$

Коэффициенты $C_{m-j,n-i}$ в (2.17) определяются вариантами пересечения прямых $\tilde{L}_{nm,j}$ и элементов K_{ij} пространственно-временной сетки.

Введенные операторы $\Lambda_K^{(j)}$ (2.9), $\Lambda_{L_r}^{(mj)}$ (2.10), $\Lambda_{L_s}^{(\alpha\alpha)}$ (2.11) и $\Lambda_{L_s}^{(\alpha\beta)}$ (2.14) позволяют построить явную разностную схему первого порядка точности по пространственной и временной координатам для системы функциональных уравнений (1.8) - (1.10).

$$\begin{aligned} \mathbf{U}_1^n &= \mathbf{U}_1^{n-1} + h \mathbf{V}_1^{n-1}, \quad \mathbf{B}^n = \mathbf{U}_2^n + \mathbf{C}_1^n \mathbf{Y}^n, \\ \mathbf{W}^{nm} &= \mathbf{U}_3^{nm} + \mathbf{C}_2^n \mathbf{Y}^{nm} - \mathbf{X}^m, \\ \Sigma^{nm} &= \mathbf{S}^{n-1,m} - h^{-1} \mathbf{W}^{nm}, \quad \mathbf{V}_1^n = \mathbf{V}_1^{n-1} + h \mathbf{M}(\mathbf{T}_e^n + \mathbf{T}^n). \end{aligned} \quad (2.19)$$

Здесь введены следующие обозначения:

$$\begin{aligned}
\mathbf{U}_1^n &= (u_1^n, u_2^n, \theta^n)^T, \quad \mathbf{U}_2^n = (\mathbf{u}^n, \dots, \mathbf{u}^n)_{1 \times 2m}, \quad \mathbf{u}^n = (u_1^n, u_2^n)^T, \\
\mathbf{B}^n &= (b_1^n, \dots, b_m^n)^T, \quad \mathbf{b}_k^n = (0, b_{1k}^n, 0, b_{2k}^n), \\
\mathbf{Y}^n &= (\boldsymbol{\chi}_1^n, \dots, \boldsymbol{\chi}_m^n), \quad \boldsymbol{\chi}_k^n = (\chi_1(\xi_{1k}^n), \chi_2(\xi_{1k}^n), \chi_1(\xi_{2k}^n), \chi_2(\xi_{2k}^n))^T, \\
\mathbf{V}_1^n &= (v_1^n, v_2^n, \omega^n)^T, \quad \mathbf{U}_3^{nm} = (u_1^n, \delta_{2l} u_2^n)^T, \quad \mathbf{Y}^{nm} = (\chi_1(\xi^{nm}), \chi_1(\xi^{nm}))^T, \\
\mathbf{W}^{nm} &= (w_1^{nm}, \delta_{2l} \gamma^{-1} w_2^{nm})^T, \quad \mathbf{X}^m = (0, \delta_{2l} m h)^T, \\
\boldsymbol{\Sigma}^{nm} &= (\sigma_1^{nm}, \sigma_2^{nm})^T, \quad \mathbf{S}^{n-1, m} = (\hat{s}_1^{n-1, m}, \gamma^{-1} \hat{s}_2^{n-1, m})^T, \\
\hat{s}_\alpha^{nm} &= \sum_{m=1}^M \sum_{i=1}^{n-1} \sum_{j=k_{1i}^{nm}}^{k_{2i}^{nm}} d_{m-j, n-i}^{(\alpha\beta)} \sigma_\alpha^{ij}, \quad \mathbf{T}_e^n = (R_{e1}^n, R_{e2}^n, M_e^n)^T, \\
\mathbf{T}^n &= (R_1^n, R_2^n, u_2^n R_1 - u_1^n R_2 - M^n)^T, \\
R_j^n &= h \sum_{k=l_n}^{l_{2n}-1} \sigma_j^{nk}, \quad M^n = h^2 \sum_{k=l_n}^{l_{2n}-1} z(k) \sigma_1^{nk}, \\
\mathbf{C}_1^n &= \begin{pmatrix} \mathbf{C}(\theta^n), & \dots & \mathbf{0} \\ \mathbf{0}, & \dots & \mathbf{C}(\theta^n) \end{pmatrix}_{4m \times 4m}, \quad \mathbf{C}_2^n = \begin{pmatrix} \cos \theta^n & -\sin \theta^n \\ -\delta_{2l} \sin \theta^n & -\delta_{2l} \cos \theta^n \end{pmatrix}, \\
\mathbf{M} &= (m_{ij}), \quad m_{11} = m_{22} = m^{-1}, \quad m_{33} = J^{-1},
\end{aligned} \tag{2.20}$$

где δ_{ij} - символы Кронекера, l - номер задачи, M - количество подобластей пространственно-временной области контакта, коэффициенты кубатур $d_{m-j, n-i}^{(\alpha)}$ определяются соотношениями (2.12), (2.13) и (2.15) - (2.17).

При расчете контактных задач положительные нормальные напряжения в окрестности границы области контакта, найденной из геометрических условий (1.3), полагались равными нулю, и, тем самым определялась площадка контакта из физических условий $\sigma_{10} < 0$.

Исследование вопросов аппроксимации, сходимости и устойчивости разностной схемы (2.19) осуществлялось на примере решения нестационарной контактной задачи для гладкого штампа с фиксированной площадкой контакта. Указанная задача решена в монографии [6]. Результаты расчетов указанной задачи показывают, что разработанная конечно-разностная схема обладает практической сходимостью.

3. Пример расчета.

Рассмотрим скользящее внедрение ($\theta_0 = 90^\circ$) в стальное полупространство ($\gamma = 1,871$) абсолютно твердого тела со следующей направляющей:

$$\begin{aligned} \chi_1(\xi) &= \left(1 + \frac{\delta(\xi)}{|N|} \sqrt{1-e^2}\right) \cos \xi, & \chi_2(\xi) &= \left(\sqrt{1-e^2} + \frac{\delta(\xi)}{|N|}\right) \sin \xi, \\ \delta(\xi) &= \delta_0 \sin n\xi, & n &\in \{0\} \cup \square, & \xi &\in [0, 2\pi], \\ N^2 &= (1-e^2) \cos^2 \xi + \sin^2 \xi, \end{aligned} \quad (3.1)$$

где δ_0 - амплитуда возмущений, e - эксцентриситет ударника.

Геометрическая форма ударника при $e = 0,99$; $\delta_0 = 0,005$; $n = 10$ показана на рисунке 4.

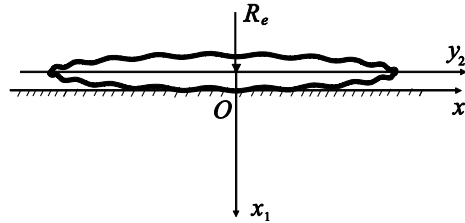


Рис. 4. Положение ударника в момент времени $\tau = 0$

Массово-инерционные параметры ударника принимались следующими: $m = 0,314$; $J = 0,079$. Начальные условия для ударника: $V_{10} = V_{20} = 0,001$; $\omega_0 = 0$. На ударник действует внешняя нагрузка $R_{e1} = R_{e2} = 0,01$; $M_e \equiv 0$.

Решение задачи строится с использованием конечно-разностной схемы (2.19) (шаг интегрирования $h = 5 \cdot 10^{-5}$, конечное время счета $\tau_k = 0,5$). Задача решалась при двух видах контактных граничных условий (сплошные линии на рисунках соответствуют жесткому сцеплению контактирующих поверхностей, штриховая - свободному проскальзыванию).

Результаты расчетов указанной задачи представлены на рисунках 5 – 12. На рисунке 5 изображена многосвязная пространственно-временная область контакта. Как следует из рисунка, на конечный момент времени τ_k в задаче имеется шесть подобластей с монотонно возрастающими по времени границами. На рисунке 6 изображена временная зависимость минимальной скорости расширения границы области контакта $\dot{b}_{\min} = \min_{m,i,k} \dot{b}_{ik}^m$. Из рисунка следует, что взаимодействие ударника с полупространством происходит на дозвуковом этапе взаимодействия $\dot{b}_{\min} < 1$.

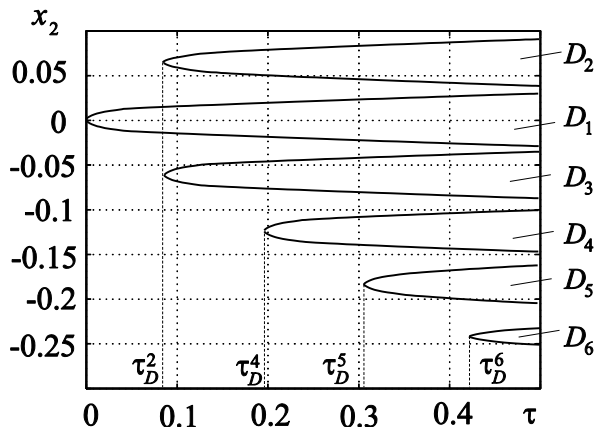


Рис. 5. Многосвязная область контакта D ($\tau_D^2 = 0,087$; $\tau_D^4 = 0,19$; $\tau_D^5 = 0,28$; $\tau_D^6 = 0,42$)

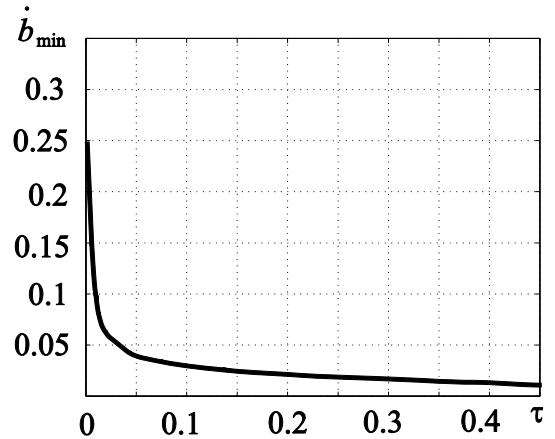


Рис. 6. Временная зависимость минимальной скорости расширения границы области контакта $\dot{b}_{\min}(\tau)$

Рисунки 7 и 8 отражают кинематику движения ударника. Как следует из рисунка 7, учет жесткого сцепления ударника и полупространства увеличивает «жесткость» последнего, что приводит к снижению абсолютных значений компонент вектора скорости, причем наиболее существенное влияние оказывается на нормальное к поверхности полупространства движение ударника. Жесткое сцепление приводит также к существенному увеличению абсолютных значений угловых скоростей ударника (рис. 8).

Распределения нормальных и касательных напряжений под ударником для подобластей D_1 и D_2 представлены на рисунках 9 – 12.

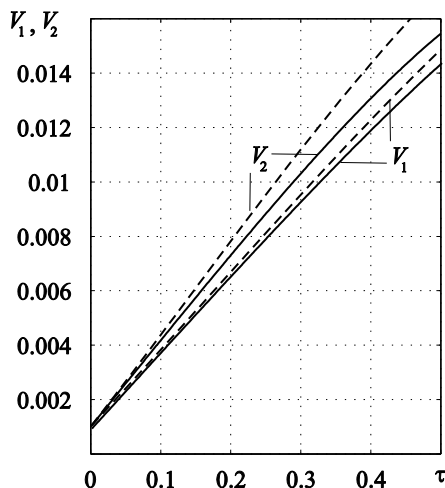


Рис. 7. Временная зависимость компонент вектора скорости ударника V_1 и V_2

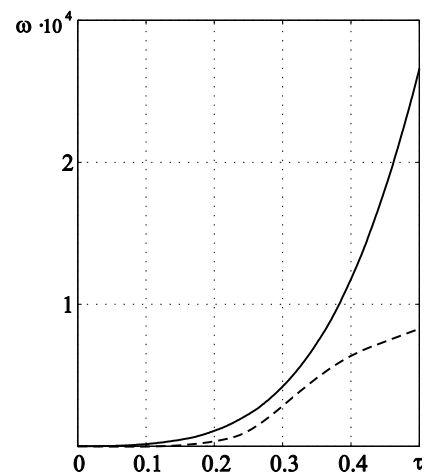


Рис. 8. Временная зависимость угловой скорости ударника ω

Вертикальные штриховые прямые соответствуют границе области контакта в указанные моменты времени, причем номера кривых соответствуют номерам прямых.

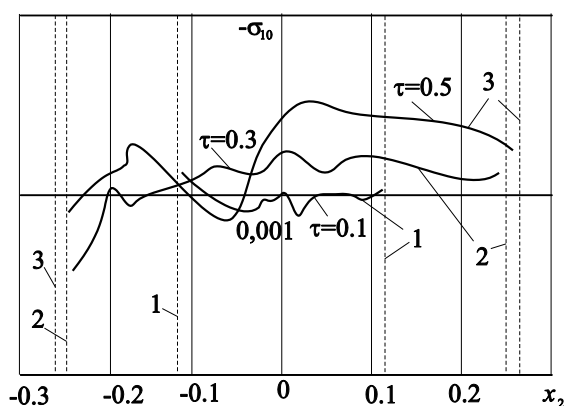


Рис. 9. Распределение нормальных контактных напряжений $\sigma_{10}(x, \tau)$ в области D_1

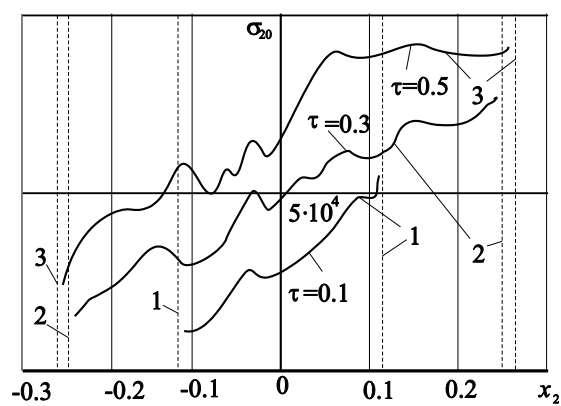


Рис. 10. Распределение касательных контактных напряжений $\sigma_{20}(x, \tau)$ в области D_1

Из рисунков 11 – 12 следует, что в случае скользящего удара в условиях жесткого сцепления происходит существенное увеличение касательных напряжений в окрестности границ областей контакта b_2^m . Аналогичный эффект наблюдается и для нормальных напряжений для областей контакта D_m , образующихся в процессе взаимодействия ударника и полупространства. Расчеты задач о вертикальном внедрении ударника показывают, что в этом случае касательные напряжения под ударником на порядок меньше контактных нормальных напряжений.

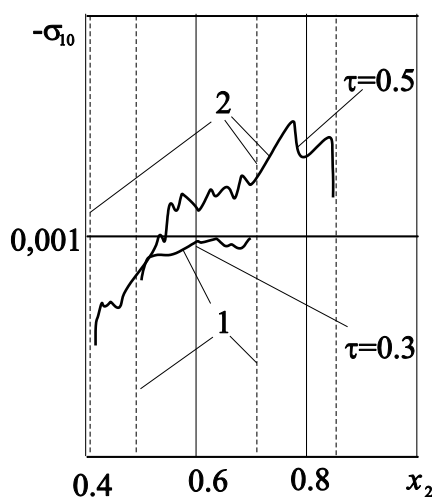


Рис. 11. Распределение нормальных контактных напряжений $\sigma_{10}(x, \tau)$ в области D_2

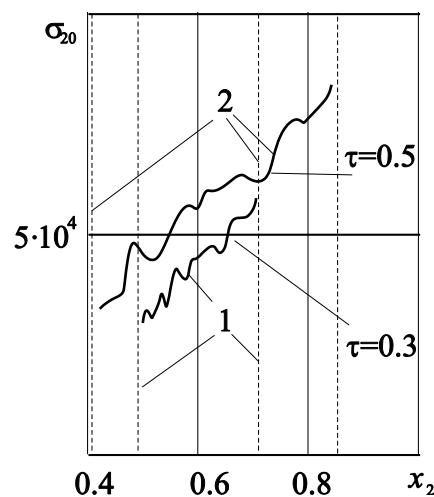


Рис. 12. Распределение касательных контактных напряжений $\sigma_{20}(x, \tau)$ в области D_2

Работа выполнена при финансовой поддержке: РФФИ (коды проектов № 09-01-00731-а, № 12-08-00934), ФЦП «Научные и научно-педагогические кадры

инновационной России» на 2009-2013 годы по лоту «Проведение научных исследований коллективами научно-образовательных центров в области нанотехнологий и наноматериалов» (госконтракт № 02.740.11.0790 «24» апреля 2010 г.), Совета по грантам Президента Российской Федерации для государственной поддержки молодых российских ученых и по государственной поддержке ведущих научных школ (код проекта НШ-64683.2010.8).

Библиографический список

1. Тарлаковский Д.В. Двумерные контактные задачи с подвижными границами/ А.Г. Горшков, Д.В. Тарлаковский. – М.: Изд-во, 1990. - 48 с.
2. Новацкий В. Теория упругости/ В. Новацкий. - М: Мир, 1975. - 872 с.
3. Медведский А. Л. Наклонный удар абсолютно твердого цилиндра по упругому полупространству / А. Л. Медведский, А. Г. Горшков, Д. В. Тарлаковский// Изв. РАН. МТТ. _ 1994. _ № 1.- С. 27–37.
4. Бахвалов Н.С. Численные методы/ Н.С. Бахвалов, Н.П. Жидков, Г.М. Кобельков. - 3, перераб. и доп. изд. - М: Бином, 2003. - 632 с.
5. Градштейн И. С. Таблицы интегралов, сумм, рядов и произведений/ И. С. Градштейн, И. М. Рыжик. - М: Наука. Глав. ред. физ.- мат. лит., 1971. - 1108 с.
6. Сеймов В. М. Динамические контактные задачи/ В. М. Сеймов. - Киев: Наук.думка, 1976. - 283 с.

Сведения об авторах

Медведский Александр Леонидович, доцент Московского авиационного института (национального исследовательского университета), к.ф.-м.н., доцент, МАИ, Волоколамское ш., 4, Москва, А-80, ГСП-3, 125993; тел.: (499) 158-44-99, 8-903-712-77-16; e-mail: mdv66@mail.ru

Тарлаковский Дмитрий Валентинович, заведующий кафедрой Московского авиационного института (национального исследовательского университета), д.ф.-м.н., профессор. МАИ, Волоколамское ш., 4, Москва, А-80, ГСП-3, 125993; тел.: (499) 158-43-06; e-mail: tdv902@mai.ru